

شناسایی حمله تقلید از سیگنال کاربر اولیه در شبکه‌های رادیوشناختی مبتنی بر طبقه‌بندی غیر پارامتریک بیزین

خاطره اکبری و جمشید ابی‌بی

به صورت فرستطلبانه استفاده می‌کنند [۱]. در واقع کاربران ثانویه در زمان عدم حضور کاربران اولیه از باندهای فرکانسی خالی که به آنها حفره‌های طیف گفته می‌شود، استفاده کرده و باعث استفاده بهینه از این منبع نادر می‌شوند. هدف اصلی CR شناسایی طیف خالی برای استفاده کاربر ثانویه است. تمایز بین سیگنال‌های کاربران اولیه و ثانویه در مرحله طیف‌سنجدی، به خصوص در محیط مخابراتی ناامن، نیاز به روش‌های آشکارسازی مورد اطمینان دارد [۲]. گسترش موققیت‌آمیز شبکه‌های رادیوشناختی وابسته به عملکرد الگوریتم‌های امنیتی در برابر سوء استفاده از این شبکه‌ها است. مقاله‌های مربوط به رادیوشناختی، روش‌های مختلفی برای سنجش طیف و مدیریت طیف را بررسی کردن ولی برخی از آنها، مشکلات امنیتی را در نظر نگرفته‌اند [۳].

در حمله تقلید از سیگنال کاربر اولیه^۴ (PUEA) کاربران مخرب سیگنال‌های کاربران اولیه را تقلید می‌کنند و با اختلال در عملکرد و عدالتی در میان گرههای رادیوشناختی، باعث کاهش کارایی شبکه رادیوشناختی می‌شوند. روش‌های طیف‌سنجدی در تمایز سیگنال‌های کاربران اولیه در حضور تهدید امنیتی PUEA محدودیت‌هایی به همراه دارند. در میان روش‌های پیشنهادی در مقابله با PUEA، برخی از مطالعات بر "روش‌های دفاعی" تمرکز دارند [۴] در حالی که برخی دیگر به "روش‌های شناسایی" PUEA پرداخته‌اند [۵] تا [۷]. اغلب روش‌های دفاعی در برابر PUEA با فرض وجود مهاجم PUE در محیط، از روشی مشابه روش به نام پرش فرکانسی تصادفی^۵ در مقابله با جمینگ^۶ بهره می‌برند [۸]. مرجع [۹] با کمک نظریه بازی به شناسایی کاربر مخرب می‌پردازد. برخی از روش‌ها به تأیید هویت فرستنده در لایه‌های بالاتر OSI تمرکز دارند [۱۰] (لایه IP با بهره‌گیری از پروتکل IPSec و لایه انتقال با استفاده از SSL). در [۱۱] هر کاربر ثانویه، در مرحله راهاندازی شبکه رادیوشناختی، طیف‌سنجدی انجام می‌دهد و دوره‌های ON و OFF هر فرستنده سیگنال کاربر اولیه را جمع‌آوری می‌کند. با مقایسه الگوی فعالیت سیگنال مجهول با الگوی فعالیت کاربر اولیه، کاربر مخرب شناسایی می‌شود. در روش‌های شناسایی PUEA، اغلب تکنیک‌ها از اطلاعات مکانی کاربران اولیه بهره می‌برند. در روش‌های مبتنی بر مکان‌یابی، فرض می‌شود کاربران اولیه دارای مکانی ثابت هستند و تغییرات کanal نیز قابل توجه نیست. همچنین کاربران مخرب نمی‌توانند توان ارسالی خود را تغییر دهند و این در حالی است که با تغییر مکان کاربر اولیه و یا تغییر پیکربندی، مکان متغیر خواهد بود. افزون بر این اگر کاربر مخرب توانایی تطبیق توان ارسالی سیگنال خود را با کاربران اولیه واقعی داشته باشد یا تغییر مکان دهد، می‌تواند این دو پارامتر را تقلید کند. بنابراین پیاده‌سازی چنین روش‌هایی را با چالش روبرو می‌کند. از سوی

چکیده: رادیوشناختی به عنوان یک فناوری کلیدی برای مقابله با کمبود طیف فرکانسی در شبکه‌های بی‌سیم به طور گسترده مورد توجه قرار گرفته است. یکی از چالش‌های مهم در تحقیق شبکه‌های رادیوشناختی، امنیت این نوع شبکه‌ها است. از مهم‌ترین این تهدیدها، حمله تقلید از سیگنال کاربر اولیه است، بدین معنی که کاربر مخرب سعی دارد سیگنال مشابه با سیگنال کاربر اولیه ارسال کند تا کاربران ثانویه را فریب داده و از ارسال سیگنال‌های این کاربران در حفره‌های طیفی جلوگیری کند و ضمن ایجاد ترافیک در شبکه، با به دست آوردن باند فرکانسی خالی، اطلاعات خود را ارسال کند. در این مقاله، روشی برای شناسایی حمله تقلید از سیگنال کاربر اولیه پیشنهاد می‌گردد که با خوشه‌بندی سیگنال‌های ارسالی کاربران اولیه و کاربران مخرب، این سیگنال‌ها را متمایز می‌کند. در این روش، تعداد سیگنال‌های ارسالی در محدوده شبکه رادیوشناختی در طول خوشه‌بندی سیگنال‌ها به دست می‌آید. با به کارگیری روش طبقه‌بندی مدل مخلوطی فرایند دیریشله که بر اساس روش غیر پارامتریک بیزین می‌باشد، سیگنال‌های اولیه فعال در محیط طبقه‌بندی می‌شوند. همچنین برای دستیابی به سرعت همگرایی بالاتر در الگوریتم، روش فرایند رستوران چینی برای مقداردهی اولیه و نمونه‌برداری غیر یکنواخت جهت انتخاب پارامتر خوشه‌ها به الگوریتم اعمال می‌گردد.

کلیدواژه: امنیت، حمله تقلید از سیگنال کاربر اولیه، خوشه‌بندی غیر پارامتریک بیزین، شبکه رادیوشناختی.

۱- مقدمه

پیشرفت سریع ارتباطات بی‌سیم و نیاز به نرخ داده بالا، تقاضای طیف را افزایش داده و از سوی دیگر باندهای دارای مجوز دارای باند مجزا هستند. این در حالی است که برخی از باندهای فرکانسی در همه زمان‌ها به طور کامل استفاده نمی‌شود. به همین دلیل ایده فرصت استفاده از این باندها در شبکه‌های رادیوشناختی مطرح شد. رادیوشناختی^۷ (CR) فرصت ارسال در باندهای دارای مجوز را بدون ایجاد تداخل با کاربران مجوزدار فراهم می‌کند. در شبکه رادیوشناختی کاربران به دو دسته تقسیم می‌شوند: (۱) کاربران اولیه^۸ (PUs) که مجوز برای استفاده از بخش خاصی از طیف را دارند، اما در طول یک بازه زمانی خاص از تمام باند فرکانسی خود استفاده نمی‌کنند و (۲) کاربران ثانویه^۹ (SUs) که از بخش‌هایی از طیف

این مقاله در تاریخ ۲۴ مهر ماه ۱۳۹۶ دریافت و در تاریخ ۲۸ خرداد ماه ۱۳۹۷ بازنگری شد.
خاطره اکبری، دانشکده مهندسی برق، دانشگاه یزد، یزد، ایران، (email: khaterreh.akbari@gmail.com)
جمشید ابی‌بی (نویسنده مسئول)، دانشکده مهندسی برق، دانشگاه یزد، یزد، ایران، (email: abouei@yazd.ac.ir)

1. Cognitive Radio

2. Primary Users

3. Secondary Users

4. Primary User Emulation Attack

5. Random Frequency Hopping

6. Jamming

درصد شناسایی درست تعداد سیگنال‌های فعال در محیط مورد بررسی قرار خواهد گرفت و طرح ارائه شده با روش‌های خوشبندی X-means و Mean-Shift مقایسه می‌گردد. نشان داده می‌شود که روش ارائه شده، دقت خوشبندی را نسبت به دو روش X-Means و Mean-Shift بهمود می‌دهد. مدل مخلوطی فرایند دیریشله^۳ (DPMM) نیاز به تکرار برای رسیدن به مقدار پایدار دارد. برای افزایش سرعت همگرایی، روش فرایند رستوران چینی^۴ (CRP) در مقداردهی اولیه ارائه خواهد شد و نمونه‌برداری غیر یکنواخت جهت انتخاب پارامتر نمونه‌برداری اعمال می‌شود. در بخش چهارم با جمع‌بندی مطالب، مقاله را به پایان می‌رسانیم.

۲- طرح پیشنهادی طبقه‌بندی سیگنال‌های اولیه در شبکه‌های رادیوشناختی

۱-۲ مدل سیستم شبکه رادیوشناختی

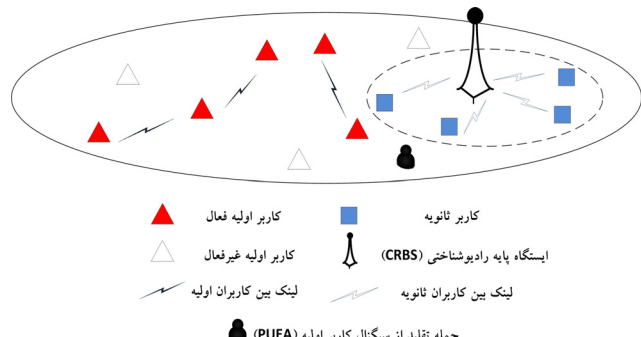
یک شبکه رادیوشناختی شامل R کاربر ثانویه SU_1, SU_2, \dots, SU_R و استگاه پایه رادیوشناختی^۵ (CRBS) را در نظر بگیرید (شکل ۱). در محدوده شبکه رادیوشناختی، P کاربر اولیه واقعی با P مشخص می‌شود که در وجود دارند. تعداد کاربران اولیه فعال با $P \leq K$ می‌شود که در طول زمان تغییر می‌کند. فرض می‌کنیم که پارامتر K برای شبکه رادیوشناختی نامعلوم است و باند فرکانسی توسط CRBS طیف‌ستجی می‌شود. کاربران اولیه واقعی می‌توانند در L کانال غیر همپوشان، سیگنال ارسال کنند. فرض می‌شود کانال‌ها دارای پهنای باند یکسان W هستند. مدولاسیون‌های QPSK، M-QAM و BPSK برای سیگنال‌های کاربر اولیه قابل استفاده است.

کاربران ثانویه اجازه دارند که از حفره‌های طیف برای ارسال اطلاعات خود استفاده کنند. کاربران ثانویه باید کانال مورد استفاده خود را زمانی که کاربر اولیه شروع به ارسال مجدد می‌کند، ترک کرده و کانال‌های خالی دیگر را برای ارسال خود استفاده کنند. هر کاربر ثانویه برای بررسی حضور یا عدم حضور کاربر اولیه در کانال مورد استفاده خود، به صورت فردی طیف‌ستجی انجام می‌دهد و اطلاعات خود را به CRBS ارسال می‌کند. در شبکه رادیوشناختی در نظر گرفته شده، روش طیف‌ستجی مورد استفاده آشکارسازی انژری است که روشی سریع و با پیاده‌سازی ساده است و نیازمند اطلاعات پیشینی از کاربران اولیه نمی‌باشد. طیف‌ستجی به صورت دوره‌ای در طول زمان τ اجرا می‌شود و $T - \tau$ مدت زمان ارسال سیگنال است. فرض می‌شود که در هر کانال یک فرستنده کاربر اولیه می‌تواند ارسال داشته باشد. یک مهاجم PUE در شبکه را در نظر بگیرید که خصوصیات کاربر اولیه را در هر بازه زمانی، فقط در یک کانال تقلید می‌کند.

۲-۲ استخراج ویژگی

سیگنال $(t)\tau$ در طول طیف‌ستجی، در باند فرکانسی در دسترس شبکه رادیوشناختی شامل L کانال دریافت می‌شود که به صورت رابطه زیر نمایش داده می‌شود

$$z[n] = s[n] + \omega[n] = \sum_{i=1}^K s_i[n] e^{j\pi f_{c_i} n} + \omega[n] \quad (1)$$



شکل ۱: شبکه رادیوشناختی با حضور یک مهاجم PUE.

دیگر، اغلب روش‌های شناسایی حمله PUE، تعداد و نوع سیگنال‌های اولیه فعال را ثابت و معلوم فرض می‌کنند، این در حالی است که در شبکه رادیوشناختی، اطلاعات مربوط به تعداد و نوع سیگنال‌های اولیه فعال در محیط مخابراتی معلوم نمی‌باشد و در طول زمان تغییر می‌کند و ممکن است سیگنال‌های اولیه جدیدی از جمله سیگنال‌های کاربران اولیه واقعی یا کاربران مخرب در محیط ارسال شود. در واقع، استگاه پایه رادیوشناختی که فرایند شناسایی PUEA را انجام می‌دهد، اطلاعات پیشینی از تعداد کاربران اولیه یا مخرب فعال در محیط ندارد. بنابراین محیط رادیویی ماهیت غیر پارامتریک دارد. در ماهیت غیر پارامتریک، اطلاعی از تعداد کاربران اولیه نداریم. در این راستا، [۱۲] از شناسه‌های رادیویی از جمله اختلاف فرکانس حامل و اختلاف شیفت فازی که مختص فرستنده مخابراتی می‌باشند، استفاده و تعداد فرستنده‌های کاربر اولیه را مشخص می‌کند. با کمک آدرس MAC فرستنده، کاربر مخرب از کاربران اولیه واقعی متمایز می‌شود.

در این مقاله، یک طرح برای تشخیص PUEA ارائه می‌شود که بدون دانش پیشینی از سیستم‌های فعال اولیه، خوشبندی سیگنال‌های کاربران اولیه انجام می‌گیرد. ویژگی‌های فرکانس حامل و نرخ سمبل از سیگنال‌های ارسالی استخراج و سیگنال‌های ارسالی با روش خوشبندی متمایز می‌شوند. برای تشخیص کاربر مخرب، شبکه رادیوشناختی الگوریتم شناسایی را به صورت پیوسته در بازه زمانی مشخص تکرار می‌کند تا رفتار کاربران اولیه به دست آید. در واقع، کاربر مخرب ویژگی‌های طیفی سیگنال ارسالی خود را تغییر می‌دهد تا در کانال‌های دیگر نیز امکان ارسال داشته باشد. هدف کاربر مخرب در ارسال به کانال‌های مختلف، میان کاربر مخرب و کاربر اولیه اصلی تمایز ایجاد می‌کند. فرایند شناسایی کاربر مخرب به صورت آفلاین اجرا می‌شود و کاربر مخرب بر اساس رفتار آن در ارسال به کانال‌های دیگر شناسایی می‌شود. در بخش دوم مقاله، طرح شناسایی حمله PUE مبتنی بر طبقه‌بندی سیگنال‌های کاربران اولیه با روش غیر پارامتریک بیزین و تئوری آن و مدل سیستم مورد نظر را شرح می‌دهیم و به روش نمونه‌برداری گیبس^۶ (GS) اصلاح شده که از قسمت‌های اصلی مدل مخلوطی فرایند دیریشله است می‌پردازیم. یک سناریو از طبقه‌بندی سیگنال‌های کاربران اولیه در شبیه‌ساز MATLAB را مورد ارزیابی قرار می‌دهیم. در گام نخست، با تولید سیگنال‌ها در فرکانس‌های متفاوت و استخراج ویژگی‌های آن، ماتریس ویژگی را برای طبقه‌بندی کننده تولید می‌کنیم. در گام دوم با مشخص کردن تعداد سیگنال‌های ارسالی و نوع آن، سیگنال‌های رادیویی محیط بی‌سیم را شناسایی می‌کنیم. در بخش سوم مقاله، دقت خوشبندی با معیار کارایی

2. Dirichlet Process Mixture Model

3. Chinese Restaurant Process

4. Cognitive Radio Base Station

1. Gibbs Sampling

$$\theta^* = \arg \max_{\theta} P(\theta | \{y_i\}_{i=1}^N) = \arg \max_{\theta} \frac{P(\{y_i\}_{i=1}^N | \theta) G(\theta)}{P(\{y_i\}_{i=1}^N)}$$
(۵)

اطلاعات مربوط به تعداد سیگنال‌های اولیه فعال در محیط مخابراتی معلوم نیست و بنابراین برای توزیع پیشین $G(\theta)$ در تخمین‌زننده MAP توزیع ثابتی روی تعداد خوشها نمی‌توان در نظر گرفت و توزیع خوشها بر اساس $\{y_i\}_{i=1}^N$ تعریف می‌شود. به ازای مجموعه مشاهدات خوشها $\{y_i\}_{i=1}^N$ ، مجموعه پارامترهای خوش $\{\theta_k^*\}_{k=1}^K$ تعریف می‌شود. در روش غیر پارامتریک بیزین، فرض می‌شود توزیع درستنمایی معلوم است. پارامترهای θ_k^* و K مجھول هستند و مسئله طبقه‌بندی در چهارچوب بیزین خواهد بود. طبقه‌بندی کننده غیر پارامتریک بیزین بر اساس مدل مخلوطی فرایند دیریشله (DPMM) مدل می‌شود و فرض می‌کند تعداد خوشها یک متغیر تصادفی است و اطلاعات پیشینی از تعداد خوشها ندارد.

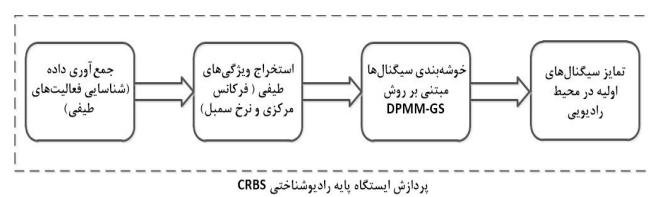
فرایند دیریشله: فرض می‌کنیم که مشاهدات $\{y_i\}_{i=1}^N$ از یک مدل مخلوطی به دست می‌آید که مؤلفه‌های مدل مخلوطی $\{\theta_i\}_{i=1}^N$ از توزیع $G(\theta)$ نتیجه گرفته می‌شود. توزیع احتمال گستته G تحققی از فرایند دیریشله $(DP(\alpha, G))$ با پارامتر تمرکز α و توزیع پایه G است [۱۳]. از توزیع دیریشله به عنوان توزیع پیشین در مدل سازی بیزین استفاده می‌شود، چرا که توزیع دیریشله، مزدوج پیشین برای توزیع چندجمله‌ای و توزیع دسته‌ای است وتابع چگالی احتمال توزیع دیریشله، وزن‌های K مؤلفه مدل مخلوطی یا خوشها می‌باشد ($\omega_1, \dots, \omega_K$). مدل مخلوطی فرایند دیریشله را می‌توان به صورت زیر بیان نمود [۱۴]

$$G \sim DP(\alpha, G) \\ \theta_i^* \sim G \\ y_i | \theta_i^* \sim f(y_i | \theta_i^*)$$
(۶)

مسئله خوشبندی، تخمین پارامترهای خوش θ_i برای هر مشاهده y_i را می‌توان از طریق تخمین MAP در (۵) به دست آورد ولی چون تابع توزیع توأم $P(\theta | \{y_i\}_{i=1}^N)$ معلوم نیست، باید تخمین θ_i را به صورت جداگانه محاسبه کنیم که برای محاسبه آن از روش‌های مونت‌کارلو استفاده می‌کنیم. از روش‌های ساده مونت‌کارلو برای به دست آوردن تخمین توزیع توأم شرطی، نمونه‌برداری گیبس است که از توزیع شرطی حاشیه‌ای $(P(\theta_i | \theta_1, \dots, \theta_{i-1}, \theta_{i+1}, \dots, \theta_N, \{y_i\}_{i=1}^N))$ نمونه می‌گیرد. توزیع پسین مورد نظر برای تخمین پارامترها به صورت رابطه زیر می‌باشد [۱۵]

$$\theta_i | \theta_1, \dots, \theta_{i-1}, \theta_{i+1}, \dots, \theta_N, \{y_i\}_{i=1}^N = \begin{cases} \theta_k^* & , p_k = \frac{n_k f(y_i | \theta_k^*)}{\alpha \cdot f(y_i) + \sum_{k=1}^K n_k f(y_i | \theta_k^*)} \\ -f(\theta_i | y_i) & , p_i = \frac{\alpha \cdot f(y_i)}{\alpha \cdot f(y_i) + \sum_{k=1}^K n_k f(y_i | \theta_k^*)} \end{cases}$$
(۷)

پارامتر θ_i مربوط به مشاهده y_i با احتمال p_k به خوش k ام یا با احتمال p_i به خوش جدید تخصیص می‌یابد. تابع درستنمایی $f(y_i | \theta_i^*)$ معلوم است. $f(y_i | \theta_i^*)$ توزیع حاشیه‌ای y_i می‌باشد که برای



شکل ۲: بلوك دیاگرام روش ارائه شده شناسایی سیگنال‌های اولیه جهت تمایز کاربران واقعی و مخرب در شبکه‌های رادیوشاختی.

که $s_i[n]$ سیگنال باند پایه کاربر اولیه i ام در فرکانس f_{c_i} است و $z[n](n=0, \dots, N_s - 1)$ نویز گوسی جمع‌شونده AWGN است. $N_s = \tau / T_s$ تعداد نمونه‌های سیگنال دریافتی نمونه‌برداری شده است به گونه‌ای که T_s با زمان نمونه‌برداری τ می‌باشد. سیگنال $[z[n]]$ مجموع سیگنال‌های دریافتی از کاربران اولیه و $[s_i[n]]$ سیگنال نویز است. در اینجا منظور از سیگنال‌های دریافتی از کاربران اولیه، سیگنال‌های شناسایی شده هستند که در دسته سیگنال اولیه قرار گرفته‌اند که می‌تواند سیگنال اولیه واقعی یا مخرب باشد

$$Z = \sum_{k=1}^K S_k + W$$
(۲)

ویژگی‌های مناسب برای استخراج با هدف خوشبندی سیگنال‌های کاربران اولیه به صورت زیر است:
فرکانس مرکزی: برای تعیین فرکانس‌های مرکزی از تخمین‌زننده طیف توان استفاده شده است. برای چگالی طیف توان، پنجره مستطیلی با طول پنجره L_ω قرار داده می‌شود

$$S_{zz}[k] = \frac{1}{L_\omega N_s} \sum_{l=-\frac{(L_\omega-1)}{2}}^{\frac{L_\omega-1}{2}} |Z[k+l]|^2$$
(۳)

فرکانس دوری: در بسیاری موارد، تابع خودهمبستگی سیگنال‌های مخابراتی متناظر با زمان هستند و بنابراین سیگنال دریافتی $(z(t))$ دارای خاصیت ایستان گردشی خواهد بود. خاصیت ایستان گردشی سیگنال می‌تواند ناشی از نزد سابل سیگنال باشد. فرکانس‌های دوری α برای هر نوع سیگنال یکتا است و به عنوان شناسه طیفی برای شناسایی نوع سیگنال استفاده می‌شود. فرکانس‌های دوری منطبق بر نزد سابل سیگنال را از تابع همبستگی طیفی به دست می‌آوریم

$$S_{zz}^\alpha[k] = \frac{1}{L_\omega N_s} \sum_{l=-\frac{(L_\omega-1)}{2}}^{\frac{L_\omega-1}{2}} Z[k-l] Z^*[k+\alpha-l]$$
(۴)

۳-۲ طبقه‌بندی سیگنال‌های رادیویی

با توجه به شکل ۲ با استخراج ویژگی‌های فرکانس حامل و نزد سابل از سیگنال‌ها، مشاهدات $\{y_i\}_{i=1}^N$ تولید می‌شود. هر مشاهده y_i منطبق بر یک خوش به پارامتر θ_i است. مسئله اصلی طبقه‌بندی، مشخص کردن پارامترهای $\{\theta_i\}_{i=1}^N$ با در دسترس بودن مشاهدات $\{y_i\}_{i=1}^N$ با در نظر گرفتن توزیع پیشین برای پارامتر θ بر اساس بیشینه‌گر احتمال پسین (MAP) مسئله خوشبندی تعریف می‌شود. در (۵)، $P(\theta | \{y_i\}_{i=1}^N)$ احتمال پسین خوشها با وجود مشاهدات $\{y_i\}_{i=1}^N$ است. $G(\theta)$ توزیع پیشین برچسب‌های خوشها و $P(\{y_i\}_{i=1}^N | \theta)$ احتمال شرطی خوش است

احتمال حاشیه‌ای (y_i) f از (۸) با در نظر گرفتن توزیع پیشین ($G(\theta)$) به دست می‌آید

$$\begin{aligned} f(y_i) &= \int_{\theta} f(y_i | \theta) G(\theta) d\theta \\ G(\theta) &= NIW(\mu_k, \Sigma_k) = N(\mu_k, \frac{\Sigma_k}{R}) IW(\Psi_k, V_k). \end{aligned} \quad (12)$$

۴-۲ افزایش سرعت همگرایی طبقه‌بندی کننده DPMM

DPMM به خاطر ساختار غیر پارامتریک خود، ابزاری مناسب برای طبقه‌بندی سیگنال است، اگرچه باعث پیچیدگی محاسباتی بالایی می‌شود چون نیاز به تعداد تکرار زیاد در نمونه‌برداری گیس دارد. از این رو برای کاهش تعداد تکرار مورد نیاز برای نمونه‌برداری روش نمونه‌برداری غیر یکنواخت و در مرحله مقداردهی اولیه روش CRP ارائه شده است.

۵-۲ مقداردهی اولیه الگوریتم

برای نمونه‌برداری گیس نیاز به مقداردهی اولیه و تخصیص اولیه خوشها به مشاهدات است که چند حالت مورد بررسی قرار می‌گیرد. نمونه‌بردار گیس با هر مقداردهی اولیه دلخواه، به توزیع ایستا همگرا خواهد شد و به ازای تعداد تکرار لازم برای همگرایی تأثیر با این حال مقداردهی اولیه بر تعداد تکرار تکرار می‌شود. برای این خواهد داشت. از این رو چند حالت مقداردهی اولیه برای این الگوریتم در نظر می‌گیریم:

(۱) N-Initial: $K^{(1)} = N$ در این حالت، هر کدام از مشاهدات به خوشها مجزا تخصیص پیدا می‌کنند، یعنی هر مشاهده یک خوش به حساب می‌آید $(y_1, y_2, \dots, y_N) = (\theta_1^{(1)}, \dots, \theta_N^{(1)})$.

(۲) CRP-Initial: $K^{(2)} = K$ بر اساس روش رستوران چینی (CRP)، مشاهدات را به K خوش تخصیص می‌دهیم، یعنی در ابتدا مشاهده اول y_1 را به اولین خوش اختصاص می‌یابد، یعنی ممکن است دوم بر اساس (۷) به خوشها اختصاص می‌یابد، یعنی خوش تشكیل به خوشها تشکیل شده تخصیص یابد یا خوش دهد و به همین ترتیب به ازای همه مشاهدات بر اساس روش CRP عمل می‌شود. با این روش مشاهدات مشابه با احتمال بیشتری در همان مرحله اول، به خوش یکسان تخصیص می‌یابند و روند همگرایی سریع تر خواهد شد.

۶-۲ انتخاب پارامتر جهت نمونه‌برداری

اگر یک مشاهده y_i به خوش k ام با تعداد المان‌های $n_k^{(j)}$ تخصیص یابد در حالی که $n_k^{(j)}$ بزرگ باشد، این احتمال زیاد است که در مرحله نمونه‌برداری بعدی دوباره به همان خوش تخصیص پیدا کند. دلیل این روند، را می‌توان در (۷) یافت. در این رابطه می‌بینیم که احتمال انتساب مشاهده i ام به خوش k ام با $n_k^{(j)}$ متناسب است. بنابراین می‌توان نتیجه گرفت که نمونه‌برداری از این نوع مشاهدات در هر تکرار الگوریتم با احتمال زیادی، تغییری در خوش متناسب ایجاد نمی‌کند.

(۱) Sequential-select: در این حالت، همه پارامترهای $\{\theta_i^{(j)}\}_{i=1}^N$ به ازای $i = 1, \dots, N$ به صورت ترتیبی انتخاب می‌شوند.

(۲) Uniform-select: در حالت دوم، پارامترهای $\{\theta_i^{(j)}\}_{i=1}^N$ به ازای $i = 1, \dots, N$ می‌شوند و در این حالت همه پارامترها با احتمال یکسان انتخاب می‌شوند.

ارزیابی رابطه، باید $f(\theta_i | y_i)$ به فرم بسته به دست بیاید. خروجی الگوریتم گیس، خوشهاست است که هر خوش یک نوع سیگنال ارسالی اولیه را در فضای ویژگی نگاشت می‌کند (الگوریتم ۱):

پروده: مجموعه مشاهدات $\{y_i\}_{i=1}^N$ ، پارامتر تمرکز α ، تعداد تکرار مرحله نمونه‌برداری GS.

مرحله مقداردهی اولیه: به یکی از حالت‌های زیر می‌توان برای این الگوریتم مقداردهی اولیه کرد $(\theta_1^{(1)}, \dots, \theta_N^{(1)}) = (y_1, \dots, y_N)$.

$$K^{(1)} = N \quad (1)$$

$$K^{(2)} = K \quad (2)$$

مرحله نمونه‌برداری از توزیع پیشین: به ازای تعداد تکرار ($j = 1: numofitterGS$) این مرحله اجرا می‌شود تا توزیع پیشین $\{\theta_i^{(j)}\}_{i=1}^N$ به توزیع ایستا همگرا شود. برای این مرحله، طبق حالت‌های عنوان شده در زیر، می‌توان پارامترهای خوشها را انتخاب کرد، سپس (۷) محاسبه شده و نمونه‌برداری می‌شود. برچسب‌های هر مشاهده و تعداد خوشها در هر تکرار الگوریتم به روز می‌شود.

Sequential-select (۱)

Uniform-select (۲)

Nonuniform-select (۳)

خروجی: برچسب‌های هر بردار ویژگی و تعداد سیگنال‌های ارسالی در محیط $.K$ و $\{\theta_i^{(j)}\}_{i=1}^N$.

الگوریتم ۱: NonParametric Bayesian Clustering Algorithm using Gibbs Sampling

پارامترهای خوشها بر اساس مدل مخلوطی گوسی بردار میانگین و کواریانس μ_k و Σ_k خواهند بود که هر دو پارامتر خوشها را نامعلوم بر اساس مدل غیر پارامتریک در نظر می‌گیریم

$$\begin{aligned} \theta_k^* &= (\mu_k, \Sigma_k) \\ y_i | \theta_k^* &\sim N(\mu_k, \Sigma_k) \end{aligned} \quad (8)$$

برای توزیع پارامترهای μ_k و Σ_k از توزیع نرمال و وارون ویشارات (IW) استفاده می‌شود [۱۶]

$$\begin{aligned} \mu_k &\sim N(\mu_0, \frac{\Sigma_k}{R}) \\ \Sigma_k &\sim InverseWishart(\Psi_k, V_k) \end{aligned} \quad (9)$$

پارامتر Ψ تخمین اولیه از ماتریس کواریانس خوشها و پارامتر V درجه آزادی توزیع است. برای محاسبه احتمال پسین پارامترهای خوشها جهت نمونه‌برداری، با توجه به (۷) می‌توان رابطه زیر را برای توزیع مشاهدات نرمال به دست آورد

$$\begin{cases} \theta_i | \theta_1, \dots, \theta_{i-1}, \theta_{i+1}, \dots, \theta_N, \{y_i\}_{i=1}^N = \\ \theta_k^*, & p_k \propto n_k f(y_i | \theta_k^*) \\ \sim f(\theta_i | y_i), & p_i \propto \alpha_i f(y_i) \end{cases} \quad (10)$$

به طوری که مجموع احتمالات باید برابر با یک باشد $(p_i + \sum_{k=1}^K p_k = 1, k \in \{1, \dots, K\})$. در واقع n_k برابر با تعداد مشاهدات خوش k ام است و احتمال شرطی خوش با توجه به توزیع نرمال به فرم زیر به دست می‌آید

$$\begin{aligned} f(y_i | \theta_k^*) &= (2\pi)^{-\frac{D}{2}} \det(\Sigma_k)^{-\frac{1}{2}} \times \\ &\exp(-\frac{1}{2} (y_i - \mu_k)^T \text{inv}(\Sigma_k) (y_i - \mu_k)) \end{aligned} \quad (11)$$

ویژگی‌های سیگنال‌ها را به خوش‌نمایش مخصوص می‌نماید که به صورت نسبت تعداد بردارهای ویژگی تخصیص داده شده به خوش‌نمایش بر تعداد کل بردارهای ویژگی سیگنال‌ها (N) محاسبه می‌شود.

(۳) تخصیص به خوش‌نمایش غیر صحیح (FCA): تخصیص هر کدام از بردار ویژگی‌های سیگنال‌ها به خوش‌نمایش غیر از خوش‌نمایش را نشان می‌دهد که از نسبت تخصیص تعداد بردارهای ویژگی تخصیص داده شده به خوش‌نمایش غیر صحیح (FA) بر تعداد کل بردارهای ویژگی (N) به دست می‌آید. دو معیار FCA و ACC در صورتی که خوش‌نمایش غیر معتبر شناسایی نشده باشد معادل هستند.
 (۴) واگرایی کولیک-لیلر^۱: شاخص اندازه‌گیری تفاوت بین دو توزیع احتمال می‌باشد [۱۷]. اگر توزیع دو خوش‌نمایش به صورت $N(\mu_1, \Sigma_1)$ و $N(\mu_2, \Sigma_2)$ باشد، شاخص KLD با (۱۳) به دست می‌آید

$$KLD = \frac{1}{2} [trace(\Sigma_2^{-1} \Sigma_1) + (\mu_2 - \mu_1)^T \Sigma_2^{-1} (\mu_2 - \mu_1) + \ln(\frac{|\Sigma_1|}{|\Sigma_2|} - D)] \quad (13)$$

که μ_k و Σ_k بردار میانگین و ماتریس کواریانس هر کدام از توزیع‌های احتمال خوش‌نمایش است و D بعد بردار را نشان می‌دهد که برابر با ۲ می‌باشد. شاخص KLD، فاصله بین خوش‌نمایش‌ها را محاسبه می‌کند و عملکرد طبقه‌بندی کننده را به ازای تغییر فاصله خوش‌نمایش‌ها از یکدیگر به دست می‌آورد. هرچه این شاخص بزرگ‌تر باشد، دو خوش‌نمایش از یکدیگر فاصله دارند و بهتر خوش‌نمایش‌بندی خواهند شد. ما معیار KLD را برای سیگنال‌های آشکارشده جدید و سیگنال‌های شناسایی شده، محاسبه می‌کنیم. با این معیار، سیستم شناسایی حمله PUE می‌تواند برای سیگنال‌های جدید فعال در محیط تصمیم‌گیری کند و آنها را در خوش‌نمایش‌های شناسایی شده یا خوش‌نمایش جدید قرار دهد. بردار میانگین و ماتریس کواریانس هر خوش‌نمایش را تشخیص نوع سیگنال ارسالی استفاده می‌شود. در شبکه رادیوشناختی مورد نظر برای بررسی روش DPMM-GS در خوش‌نمایش سیگنال‌های ارسالی از کاربران اولیه، فرض می‌کنیم نمونه‌های سیگنال‌های دریافتی از کاربران اولیه فعال در محیط بی‌سیم اعم از کاربر اولیه واقعی یا مهاجم PUE دارای توزیع نرمال است و بردارهای ویژگی استخراج شده از این سیگنال‌ها، از مدل مخلوطی نرمال گرفته شده است ($N(\mu_k, \Sigma_k)$).

باید خاطر نشان کرد در روش خوش‌نمایش توزیع مشاهدات با توزیع مخلوط گوسی مدل شده و این مدل به توزیع مشاهدات حساس نیست. روش ارائه شده برای توزیع مشاهدات غیر گوسی نسبت به گوسی عملکرد ضعیف‌تری دارد. با این وجود از عملکرد پایداری برخوردار است و با توزیع مشاهدات غیر گوسی نیز نسبت به روش‌های X-Means و MeanShift بیشتری دارد. روش‌های X-Means و MeanShift نیز برای عملکرد بهتری دارند. روش‌های X-Means و MeanShift با خوش‌نمایش غیر گوسی مدل شده‌اند.

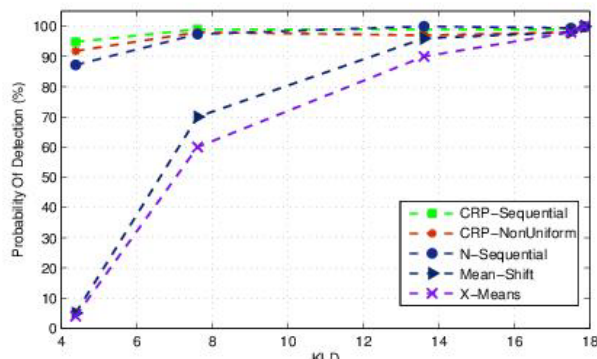
در شبیه‌سازی، روش خوش‌نمایش DPMM-GS را با فرض تعداد سیگنال‌های ارسالی برابر با $K = 2$ و ابعاد فضای ویژگی $D = 2$ تعداد مشاهدات حس شده در طول زمان طیف‌سنگی برابر با $N = 100$ ، به ازای سه معیار احتمال آشکارسازی صحیح، دقت خوش‌نمایش و تخصیص به خوش‌نمایش غیر صحیح مقایسه می‌کنیم. شکل ۳ احتمال

Nonuniform-select: برای کاهش پیچیدگی محاسباتی یک روش انتخاب پارامتر ارائه می‌کنیم که پارامترهای خوش‌نمایش را به طور مؤثر در هر تکرار نمونه‌برداری گیبس انتخاب می‌کند و باعث می‌شود سریع‌تر به مقدار نهایی همگرا شود و کاهش قابل توجه محاسبات طبقه‌بندی کننده DPMM را نتیجه دهد. این حالت با انتخاب هوشمندانه‌تر پارامترها در هر تکرار الگوریتم، سعی بر کاهش تکرار مورد نیاز برای همگرایی الگوریتم دارد و پارامترهایی را برای نمونه‌برداری انتخاب می‌کند که احتمال بیشتری دارد که خوش‌نمایش مناسب به آن تغییر کند. برخلاف حالت دوم، پارامترهای $\{\theta_i^{(j)}\}_{i=1}^N$ به ازای $N = i$ با احتمال غیر یکساخت $\pi^{(j)}$ انتخاب می‌شوند. احتمال $\pi^{(j)}$ با تعداد مشاهدات در خوش‌نمایش مناسب به i ، $n_k^{(j)} = (1/n_{k,i}^{(j)}) / \sum_{i=1}^N 1/n_{k,i}^{(j)}$. در نتیجه، احتمال انتخاب پارامترها با تعداد المان کمتر در خوش‌نمایش مناسب به آن بیشتر می‌شود.

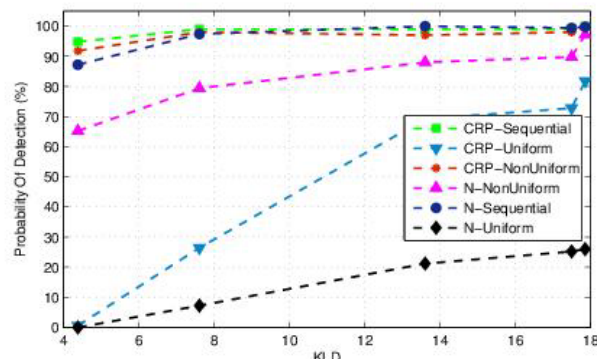
۳- نتایج شبیه‌سازی

با شبیه‌سازی یک ستاریوی نمونه از شبکه رادیوشناختی، روش ارائه شده خوش‌نمایش سیگنال‌های کاربران اولیه مبتنی بر DPMM-GS و X-Means مورد ارزیابی قرار می‌گیرد و با روش‌های خوش‌نمایش مانند Mean-Shift از لحاظ دقت شناسایی تعداد سیگنال‌های اولیه ارسالی در محیط رادیویی و تخصیص صحیح ویژگی‌های سیگنال به هر خوش‌نمایش مقایسه می‌شود. در شبیه‌سازی‌ها، تأثیر تغییر تعداد سیگنال‌های ارسالی و فاصله دو خوش‌نمایش در فضای ویژگی بر روی شاخص‌های عملکرد مذکور (دقت شناسایی تعداد سیگنال‌های اولیه ارسالی و تخصیص صحیح ویژگی‌های سیگنال به هر خوش‌نمایش)، ارزیابی می‌گردد. تنها سیگنال‌های ارسالی کاربران اولیه در نظر گرفته می‌شوند و ویژگی‌های سیگنال‌های اولیه خوش‌نمایش می‌گردد. این فرض به این دلیل موردن استفاده قرار گرفته که سیگنال‌های سیگنال‌های اولیه کاربران ثانویه توسط شبکه رادیوشناختی قابل شناسایی است و از خوش‌نمایشی و متمایز کردن سیگنال‌های آنها از سیگنال‌های اولیه صرف نظر می‌شود. تعداد کانال‌های در دسترس شبکه رادیوشناختی برابر با $L = 10$ و طول دوره طیف‌سنگی برابر با $\mu s = 30$ در نظر گرفته شده است. در این مدت زمان، ویژگی‌های سیگنال دریافتی (t) استخراج می‌شود. این مرحله ۱۰۰ بار تکرار می‌گردد و فرض می‌شود در طول این مدت، سیگنال t تغییر نمی‌کند. در این مدت زمان سنجش طیف، ویژگی‌های سیگنال‌های تولید شده استخراج می‌شود. سیگنال به نویز همه سیگنال‌ها یکسان و ثابت برابر با مقدار $SNR = 10\text{dB}$ در نظر گرفته شده است. کانال مخابراتی کانال AWGN می‌باشد که نویز سفید جمع‌شونده با سیگنال‌های ارسالی همراه است. برای شروع در محیط رادیویی، سیگنال‌های مخابراتی با فرکانس‌های مرکزی $10, 50, 90, 140$ مگاهرتز در باند پایه در حال ارسال می‌باشند که به ترتیب دارای مدولاسیون‌های QPSK، BPSK، QAM ۱۶ و QAM ۶۴ هستند و نرخ سمبول سیگنال‌ها به ترتیب برابر با $2, 5, 10, 20, 50, 90, 140$ MBaud است. به منظور ارزیابی طرح خوش‌نمایش سیگنال‌های اولیه، معیارهای زیر تعریف می‌گردند:

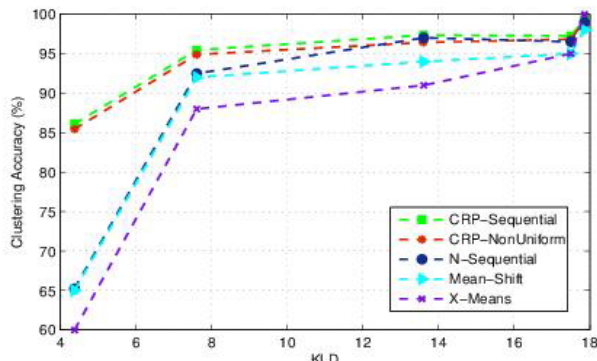
- (۱) احتمال آشکارسازی صحیح (POD): دقت الگوریتم خوش‌نمایش را در شناسایی تعداد سیگنال‌های کاربران اولیه، مشخص می‌کند که از نسبت شمارش صحیح تعداد سیگنال‌های اولیه $n(Correct)$ بر کل تکرارهای اجرشده $n(Total)$ به دست می‌آید.
- (۲) دقت خوش‌نمایش (ACC): درستی تخصیص هر کدام از بردار



شکل ۶: احتمال آشکارسازی صحیح روش‌های مورد مطالعه به ازای $K = D = 2$ و $N = 100$ بر حسب KLD.



شکل ۷: احتمال آشکارسازی صحیح روش DPMM به ازای $K = D = 2$ و $N = 100$ بر حسب KLD.

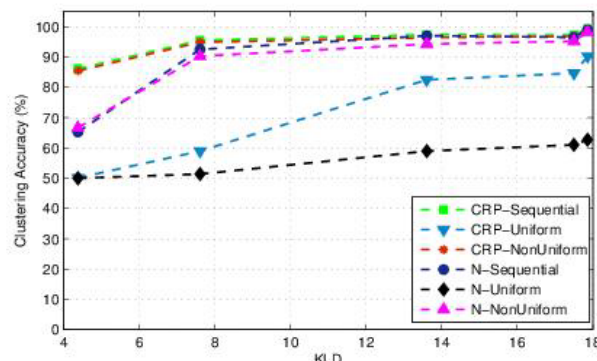


شکل ۸: مقایسه دقت خوشه‌بندی در روش‌های DPMM و X-Means و Mean-Shift به ازای $K = D = 2$ و $N = 100$ بر حسب KLD.

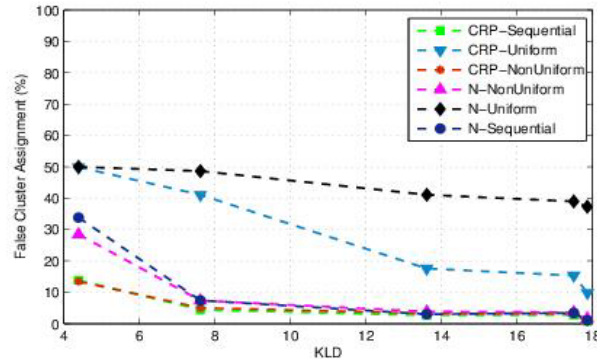
دارند. باید خاطر نشان کرد همه حالت‌های شبیه‌سازی شده به مقدار پایدار همگرا خواهند شد، با این تفاوت که برخی از حالت‌ها به ازای مقدار KLD برابر، به تعداد تکرار بیشتری برای همگرایی نیاز خواهند داشت.

شکل ۴ دقت خوشه‌بندی (ACC) الگوریتم DPMM را بر حسب KLD نشان می‌دهد. حالات CRP-Sequential و CRP-Nonuniform با دقت بالاتر به ازای همه مقادیر KLD، بردارهای ویژگی را به خوشه‌ها به درستی تخصیص می‌دهد. در شکل ۵ نیز تخصیص به خوشه غیر CRP-Sequential و CRP-Nonuniform نسبت به حالت‌های دیگر بهتر می‌باشد و تخصیص به خوشه غیر صحیح در محدوده ۱۵٪ تا ۲۰٪ به ازای افزایش KLD است.

در شکل ۶ عملکرد روش‌های خوشه‌بندی DPMM، X-Means و Mean-Shift را در شناسایی درست سیگنال‌های ارسالی در محیط به ازای مقادیر متفاوت KLD می‌بینیم. به ازای KLD کوچک، هنگامی که مرکز خوشه‌ها به یکدیگر نزدیک باشند، عملکرد روش DPMM بهتر است. هرچه مقدار KLD بیشتر شود و شباهت خوشه‌ها کمتر باشد، عملکرد هر سه روش بهبود می‌یابد. به ازای $KLD = 17/86$ ، احتمال آشکارسازی صحیح هر سه روش، 100 درصد می‌باشد. در واقع در $KLD = 17/86$ سیگنال‌های ارسالی در دو خوشه کاملاً مجزا می‌باشند و هیچ همپوشانی در فضای ویژگی ندارند. بنابراین روش‌های X-Means و Mean-Shift نیز دارای عملکرد 100 درصد می‌باشند. هرچه مقدار KLD کمتر شود عملکرد این دو روش نسبت به DPMM افت می‌کند. در $KLD = 4/39$ دو خوشه سیگنال در فضای ویژگی در فاصله نزدیکی قرار دارند و میانگین یک خوشه در محدوده خوشه دیگر قرار دارد. در این مقدار KLD، دو روش Mean-Shift و X-Means عملکرد پایین‌تری نسبت به روش DPMM دارند. شکل ۷ عملکرد سه روش مذکور را در



شکل ۹: دقت خوشه‌بندی به ازای $K = D = 2$ و $N = 100$ بر حسب KLD.



شکل ۱۰: تخصیص به خوشه غیر صحیح به ازای $K = D = 2$ و $N = 100$ بر حسب KLD.

آشکارسازی صحیح را بر حسب پارامتر KLD نشان می‌دهد. با توجه به شکل ۳، درصد شناسایی تعداد سیگنال‌های آشکارشده با افزایش شاخص KLD بهبود می‌یابد. در حقیقت، مقدار کوچک شاخص نشان می‌دهد بردارهای ویژگی دو سیگنال آشکار شده و در واقع فاصله خوشه‌ها به یکدیگر نزدیک هستند و انتظار می‌رود خوشه‌بندی با خطای بیشتری همراه باشد. همان طور که بیان شد کاربر اولیه مخرب نیز سعی دارد سیگنال ارسالی خود را به سیگنال ارسالی کاربر اولیه واقعی نزدیک کند و بنابراین برای بررسی عملکرد تمایز سیگنال‌های ارسالی در محیط، از معیار KLD بهره بردیم.

در شرایط یکسان CRP-Uniform، CRP-N-Uniform، CRP-GS و CRP-Sequential، عملکرد ضعیفتری نسبت به حالت‌های دیگر به ازای مقادیر متفاوت KLD دارند. در این حالت، انتخاب نمونه‌های احتمال تخصیص هر بردار ویژگی به خوشه‌ها به صورت تصادفی با توزیع یکنواخت خواهد بود. حالات CRP-Sequential، CRP-Nonuniform و CRP-Sequential به ترتیب عملکرد قابل قبول و متوسط احتمال آشکارسازی صحیح ۹۰٪

- access networks," in *Proc IEEE Symp. on New Frontiers in Dynamic Spectrum*, 11 pp., Singapore, Singapore, 6-9 Apr. 2010.
- [5] C. Zhao, L. Xie, X. Jiang, L. Huang, and Y. Yao, "A PHY-layer authentication approach for transmitter identification in cognitive radio networks," in *Proc. Int. Conf. on Communications and Mobile Computing, CMC'10*, vol. 2, pp. 154-158, Shenzhen, China, 12-14 Apr. 2010.
- [6] Z. Caidan, W. Wumei, H. Lianfen, and Y. Yan, "Anti-PUE attack base on the transmitter fingerprint identification in cognitive radio," in *Proc. Int. Conf. on Wireless Communications, Networking and Mobile Computing*, 5 pp., Beijing, China, 24-26 Sept. 2009.
- [7] W. L. Chin, et al., "Channel-based detection of primary user emulation attacks in cognitive radios," in *Proc. IEEE Vehicular Technology Conf. (VTC Spring)*, 5 pp., Yokohama, Japan, 6-9 May 2012.
- [8] H. Li and Z. Han, "Dogfight in spectrum: combating primary user emulation attacks in cognitive radio systems, part i: known channel statistics," *IEEE Trans. on Wireless Communications*, vol. 9, no. 11, pp. 3566-3577, Nov. 2010.
- [9] N. Nguyen-Thanh, P. Ciblat, A. Pham, and V. Nguyen, "Surveillance strategies against primary user emulation attack in cognitive radio networks," *IEEE Trans. on Wireless Communications*, vol. 14, no. 9, pp. 4981-4993, Sep. 2015.
- [10] C. Biao, K. M. Borle, and D. Wenliang, "A physical layer authentication scheme for countering primary user emulation attack," in *Proc. Int. Conf. on Acoustics, Speech, and Signal Processing, ICASSP'13*, pp. 2935-2939, Vancouver, BC, Canada, 26-31 May 2013.
- [11] X. Chunsheng and M. Song, "Detection of PUE attacks in cognitive radio networks based on signal activity pattern," *IEEE Trans. on Mobile Computing*, vol. 13, no. 5, pp. 1022-1034, May 2014.
- [12] N. T. Nguyen, R. Zheng, and Z. Han, "On identifying primary user emulation attacks in cognitive radio systems using nonparametric Bayesian classification," *IEEE Trans. on Signal Processing*, vol. 60, no. 3, pp. 1432-1445, Mar. 2012.
- [13] Y. W. Teh, *Dirichlet Processes*, Encyclopedia of Machine Learning, Springer, 2010.
- [14] M. Bkassiny, S. K. Jayaweera, and L. Yang, "Multidimensional Dirichlet process-based non-parametric signal classification for autonomous self-learning cognitive radios," *IEEE Trans. on Wireless Communications*, vol. 12, no. 11, pp. 5413-5423, Nov. 2013.
- [15] M. D. Escobar and M. West, "Bayesian density estimation and inference using mixtures," *J. of the American Statistical Association*, vol. 90, no. 430, pp. 577-588, Jun. 1995.
- [16] K. P. Murphy, *Machine Learning: A Probabilistic Perspective*, MIT Press, 2012.
- [17] J. R. Hershey and P. A. Olsen, "Approximating the Kullback Leibler divergence between Gaussian mixture models," in *Proc. IEEE Int. Conf. on Acoustics, Speech and Signal Processing, ICASSP'07*, vol. 4, pp. 317-320, Honolulu, HI, USA, 15-20, Apr. 2007.

خطره اکبری تحصیلات خود را در مقطع کارشناسی در رشته مهندسی برق الکترونیک از دانشگاه اصفهان و در مقطع کارشناسی ارشد در رشته مهندسی برق مخابرات از دانشگاه یزد به ترتیب در سال های ۱۳۹۰ و ۱۳۹۴ به پایان رسانده است. زمینه های تحقیقاتی مورد علاقه نامبرده عبارتند از: رادیوشناختی، نسل پنجم شبکه های بی سیم، شبکه های حسگر بی سیم و شناسایی آماری الگو.

جمشید ابوبی مدرک کارشناسی و کارشناسی ارشد (رتبه نخست) مهندسی برق خود را از دانشگاه صنعتی اصفهان به ترتیب در سال های ۱۳۷۷ و ۱۳۷۵ نمود. از سال ۱۳۷۷ الی ۱۳۸۲ نامبرده به عنوان عضو هیأت علمی و سپریست آزمایشگاه های مهندسی برق در دانشکده مهندسی برق و کامپیوتر دانشگاه یزد مشغول بود. پس از آن به دوره دکترای مهندسی برق و کامپیوتر در دانشگاه واترلو در کانادا وارد گردید و در سال ۱۳۸۸ موفق به اخذ درجه دکترا در مهندسی برق از دانشگاه مذکور گردید. دکتر ابوبی دوره پس دکترا را نیز در دانشگاه تورنتو در کانادا در سال ۱۳۸۹ به پایان رساند و همان‌ین دانشیار دانشکده مهندسی برق دانشگاه یزد می باشد. زمینه های علمی مورد علاقه نامبرده متعدد و شامل موضوعاتی مانند نسل پنجم شبکه های سیار، شبکه های فموسول، رادیوشناختی، تشخیص منابع در شبکه های بی سیم، شبکه های حسگر بی سیم و سیستم های نوری فضای باز می باشد.

دقت خوشبندی (ACC) نشان می دهد. همان طور که مشخص است برای تمایز سیگنال ها، عملکرد روش DPMM به ازای KLD های کوچک نیز بهتر از دو روش دیگر می باشد. آشکارسازی کاربر حمله تقلید از سیگنال کاربر اولیه: تاکنون روشهای خوشبندی سیگنال های کاربران اولیه و تعیین تعداد کاربران اولیه فعال در محیط مخابراتی ارائه شد. در صورت در دسترس بودن شناسه های مختص کاربران اولیه (ID) در شبکه رادیوشناختی، کاربر مخرب تنها با مقایسه شناسه کاربران شناسایی شده و شناسه های معتبر قابل شناسایی است (مانند آنچه در [۱۲] اشاره شده است). در حالت دوم با فرض این که کاربر مخرب، توانایی تقلید از شناسه های کاربران اولیه را داشته باشد، کاربران متمایز با مشابه شناسایی می شوند. وجود شناسه های مشابه نشان دهنده وجود کاربر مخرب در شبکه رادیوشناختی است. از سوی دیگر، هدف کاربر مخرب در اشغال کانال های مخابراتی با هدف کاربر اولیه واقعی متفاوت است. بنابراین الگوی رفتاری کاربر مخرب با کاربر اولیه واقعی متفاوت خواهد بود. این الگوی رفتاری در افزایش دوره های فعال بودن در کانال ها آشکار می شود. به طور دقیق تر، مقدار انرژی کاربر اولیه واقعی در طول زمان تغییر می کند. کاربر مخرب با هدف حمله رد سرویس، مقدار انرژی نسبتاً یکنواختی خواهد داشت. دوره های فعال کاربر مخرب از دوره های غیر فعال بیشتر و تابع خودهمیستگی انرژی PUE تقریباً ثابت است.

۴- جمع بندی

در این مقاله با هدف شناسایی حمله PUE طرحی مبتنی بر طبقه بندی سیگنال های کاربران اولیه با روش غیر پارامتریک بیزین در شبکه رادیوشناختی ارائه گردید. با اعمال الگوریتم خوشبندی، تعداد و نوع سیگنال های ارسالی به دست می آید. تعداد و نوع کاربران اولیه فعال برای شبکه رادیوشناختی، مجهول در نظر گرفته شد. برای دستیابی به سرعت همگرایی بالاتر به روش نمونه برداری گیبس اصلاح شده که از قسمت های اصلی مدل مخلوطی فرایند دیریشله است پرداختیم. با به کارگیری روش نمونه برداری غیر یکنواخت و مقداردهی اولیه از طریق روش CRP، سرعت نمونه برداری گیبس بهبود یافت. دقت خوشبندی با معیار کارایی درصد شناسایی درست تعداد سیگنال های فعال در محیط و تخصیص مشاهدات درست به خوش متناظر مورد بررسی قرار گرفت و طرح ارائه شده با روش های خوشبندی X-means و Mean-Shift مقایسه گردید و نشان داده شد که روش ارائه شده، دقت خوشبندی را نسبت به دو روش Mean-Shift و X-Means بهبود داده است.

مراجع

- 1] B. Wang and K. J. R. Liu, "Advances in cognitive radio networks: a survey," *IEEE J. of Selected Topics in Signal Processing*, vol. 5, no. 1, pp. 5-23, Feb. 2011.
- 2] X. Shengli, L. Yi, Z. Yan, and Y. Rong, "A parallel cooperative spectrum sensing in cognitive radio networks," *IEEE Trans. on Vehicular Technology*, vol. 59, no. 8, pp. 4079-4092, Oct. 2010.
- 3] R. Saifan, A. E. Kamal, and Y. Guan, "Efficient spectrum searching and monitoring in cognitive radio network," in *Proc. IEEE 8th Int. Conf. on Mobile Adhoc and Sensor Systems, MASS'11*, pp. 520-529, Valencia, Spain, 17-22 Oct. 2011.
- 4] R. W. Thomas, R. S. Komali, B. J. Borghetti, and P. Mahonen, "A Bayesian game analysis of emulation attacks in dynamic spectrum